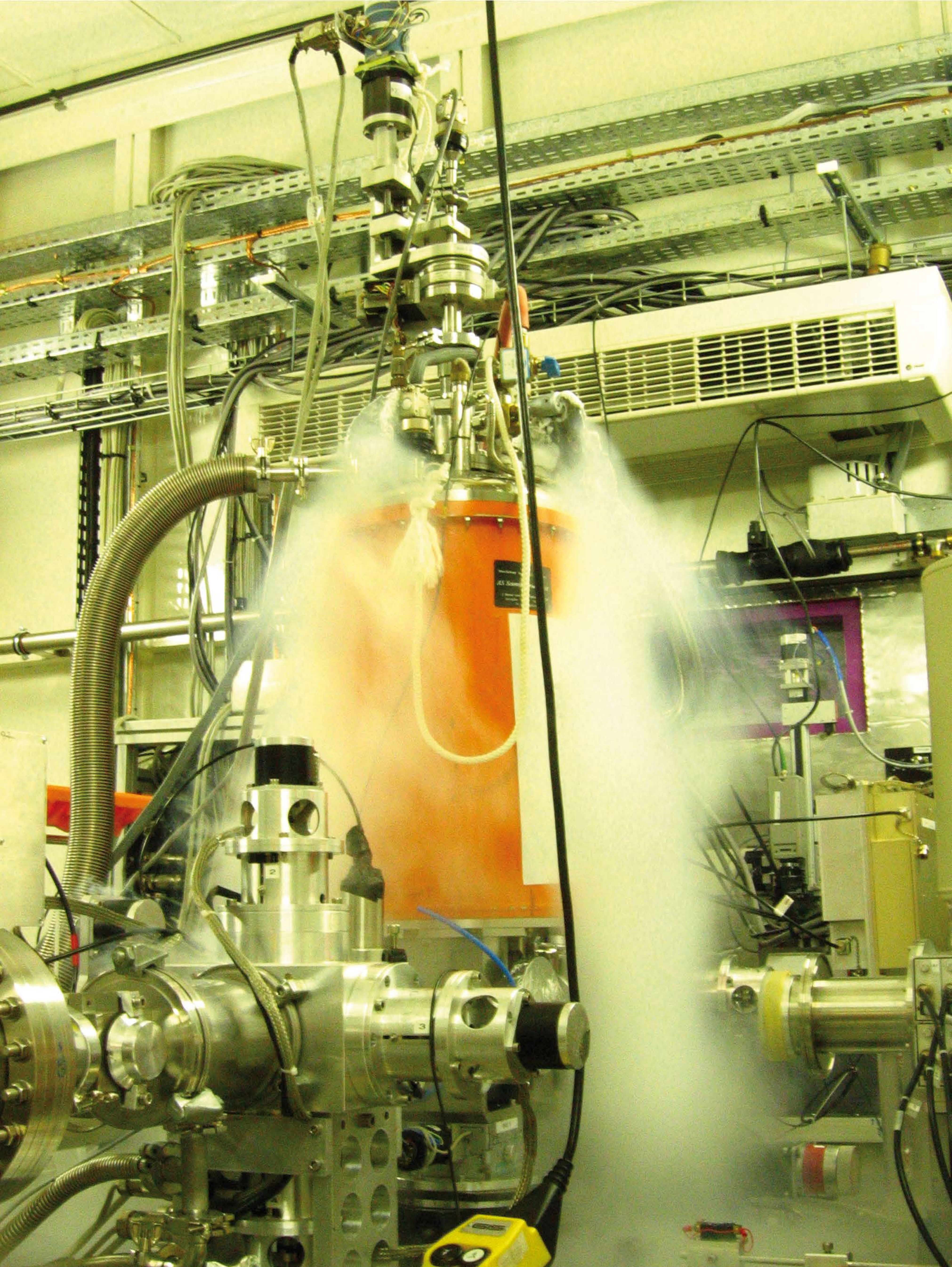




Alternance roches et mer dans le Pays Basque

Alternance des roches et de la mer à la limite du Crétacé et du tertiaire dans le Pays Basque.

Crédit photo : Nicolas Thouveny / CEREGE



Synchrotron

Utilisation du rayonnement synchrotron pour caractériser les mécanismes de transfert et de toxicités des polluants métalliques à l'échelle moléculaire et manométrique.

Crédit photo : Jérôme Rose / CEREGE



Granite rose

Formes d'érosion dans les granites roses de Bretagne.

Crédit photo : Nicolas Thouveny / CEREGE



ASTERisques

Spectromètre de masse par accélérateur (ASTER - Accélérateur pour les Sciences de la Terre, Environnement, Risques).

Crédit photo : LN2C / CEREGE



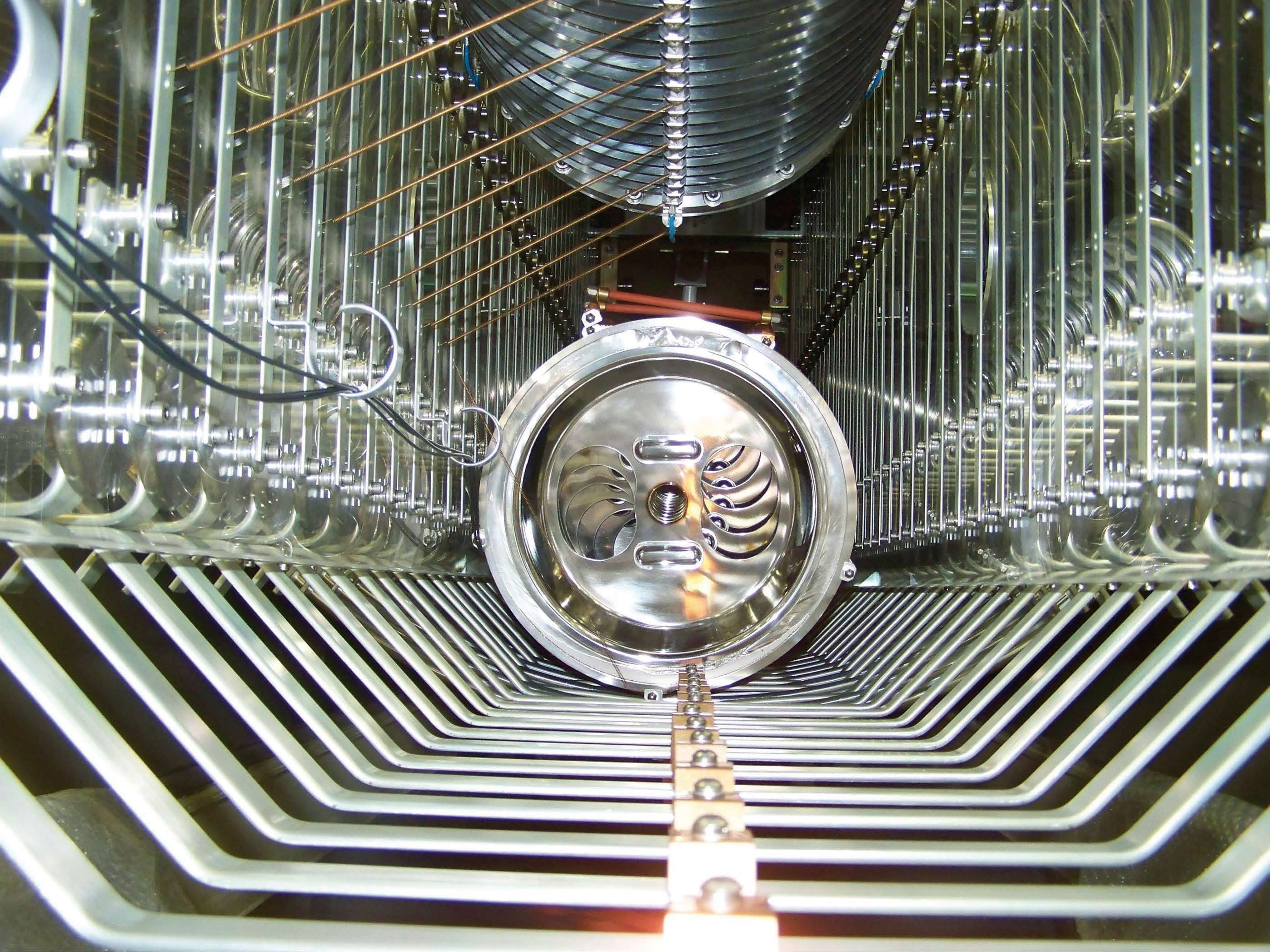
Roches et organismes

Interactions organismes-roches dans un paysage alternatif, l'estran, partie du littoral recouverte par la marée.

Crédit photo : Nicolas Thouveny / CEREGE



Vue du pli de Sisteron
Des bancs de Calcaire arqués par la contrainte.
Crédit photo : Nicolas Thouveny / CEREGE



ASTER

Intérieur de l'accélérateur ASTER (Accélérateur pour les Sciences de la Terre, Environnement, Risques).

Credit photo : LN2C / CEREGE



Campagne de terrain sur les lacs de haute altitude des Alpes

Etude des retombées atmosphériques et de transfert depuis la colonne d'eau vers la chaîne alimentaire aquatique de métaux.

Crédit photo : Jérôme Rose / CEREGE



Vue du glacier du Savoia (Pakistan)

Photographie du glacier du Savoia prise à 7000 m d'altitude.

Crédit photo : Irena Mrak / Université de Ljubljana - Département de Géographie



Vue de la faille de Magnola-Velino (Apennin Central, Italie)

A la base du relief, un escarpement de faille récent qui marque les derniers événements sismiques.

Crédit photo : Lucilla Benedetti / CEREGE



Prélèvement dans l'Étang de Berre

Prélèvement d'eau et de sédiments dans l'étang de Berre par une étudiante en co-tutelle IMBE-CEREGE.

Crédit photo : Bertrand Martin-Garin / CEREGE



Mélèze : Cernes d'arbre

Rondelle de mélèze pluri-centenaire.

Crédit photo : Jean-Louis Edouard / IMBE - AMU



Vue de la faille de Magnola-Velino (Apennin Central, Italie)

Vue rapprochée de l'escarpement de la faille de Magnola-Velino, d'environ 10 m de hauteur, sismiquement exhumée de terre par la succession des forts séismes.

Crédit photo : Lucilla Benedetti / CEREGE



Vue de la faille de Fuyun (Chine)

Les petites rivières sont décalées par la faille à la suite des mouvements sismiques. Ces décalages successifs entraînent la formation des petites collines.

Crédit photo : Jérôme van der Woerd / Institut de Physique du Globe de Strasbourg - École et Observatoire des Sciences de la Terre (EOST)



Campagne de terrain sur les lacs de haute altitude des Alpes

Etude des retombées atmosphériques et de transfert depuis la colonne d'eau vers la chaîne alimentaire aquatique de métaux.

Crédit photo : Jérôme Rose / CEREGE